

## **КВАЗИСТАЦІОНАРНІ ПРИСКРИВАЧІ ПЛАЗМИ (КСПП)**

**1. Течії плазми в рамках ідеальної магнітогідродинамічної моделі**

**Закони збереження.**

**Рівняння Бернуллі.**

**Функції потоку.**

**Поняття ізомагнітності та ізобернуллісвості перебігу плазми.**

**2. Режими роботи прискорювача КСПУ**

**2.1. Прискорювальний режим.**

**2.2. Компресійний режим.**

**2.3. Епюри прискорювача/компресора.**

**2.4. Параметр обміну.**

## Квазістаціонарний ?

$$\tau/t \gg 1$$

Прольотний час:  $t=L/v_m$

$$R_a = 20\text{ cm}$$

$$I_d = 500 \text{ kA}$$

$$r_{cp} = 10\text{ cm}$$

$$H = 10^4 \text{ Oe}$$

$$n_o = 4 \cdot 10^{15} \text{ cm}^{-3}$$

$$V_m = 5 \cdot 10^7 \text{ cm/s}$$

$$v_m = (2)^{1/2} v_{A0} = H_0 / (2\pi\rho)^{1/2}$$

$$I_i = e r_{cp}^2 n_o v_m \sim 3 \cdot 10^6 \text{ A}$$

$$R \gg h$$

# Quasi-Steady-State Plasma Flows

$$\rho \left( \frac{\partial \vec{v}}{\partial t} + (\vec{v} \nabla) \vec{v} \right) = -\nabla p + \frac{1}{c} [\vec{j}, \vec{H}] \quad \frac{\partial \vec{H}}{\partial t} = \text{rot}[\vec{v}, \vec{H}] \quad j = \frac{c}{4\pi} \text{rot} \vec{H}$$

$$\frac{\partial \rho}{\partial t} + \text{div} \rho \vec{v} = 0 \quad p = p_0 \left( \frac{\rho}{\rho_0} \right)^\gamma \quad \text{div} \vec{H} = 0$$

In the case of stationary axial-symmetric flow:  $\frac{\partial}{\partial t} = 0, H_r = H_z = 0, v_\theta = 0$ .

The plasma flow is divided into flux tubes with a width  $h=h(z)$ .

Under these assumptions **three conservation laws** (holding true for each flux tube) follow from the system of Equations mentioned above.

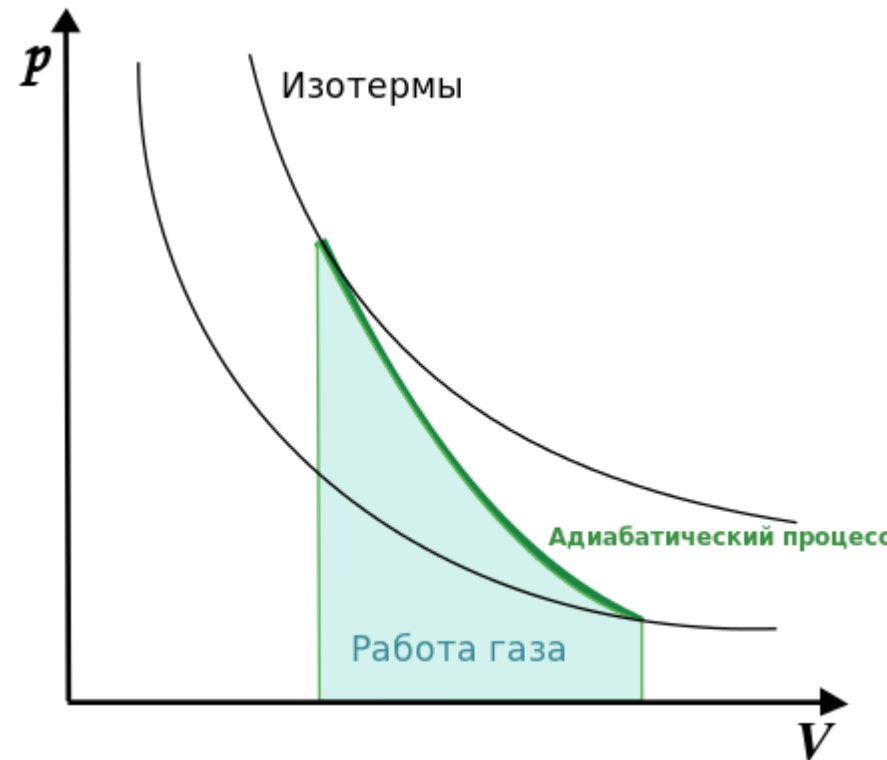
$$\frac{v^2}{2} + \int \frac{dp}{\rho} + \frac{H^2}{4\pi\rho} = \text{const} \equiv U \quad \begin{array}{l} \text{- Bernoulli equation} \\ \text{Conservation of full energy in the flow} \end{array}$$

$$i(\rho) \equiv \int \frac{dp}{\rho} = \frac{p_0}{\rho_0} \frac{\gamma}{\gamma-1} \left( \frac{\rho}{\rho_0} \right)^{\gamma-1}$$

$$\frac{H}{\rho} = \text{const} \equiv \alpha \quad \begin{array}{l} \text{- Freezing-in azimuth magnetic flux into plasma} \\ \bullet \end{array}$$

$$\rho v h = \text{const} \equiv m \quad \begin{array}{l} \text{- Mass conservation law} \\ \bullet \end{array}$$

Довідково:



For  $z=0$  and  $v \rightarrow 0$  one possible to find **the CONSTANT of Bernoulli**

$$U \equiv \frac{H_0^2}{4\pi\rho_0} (1 + \mu),$$

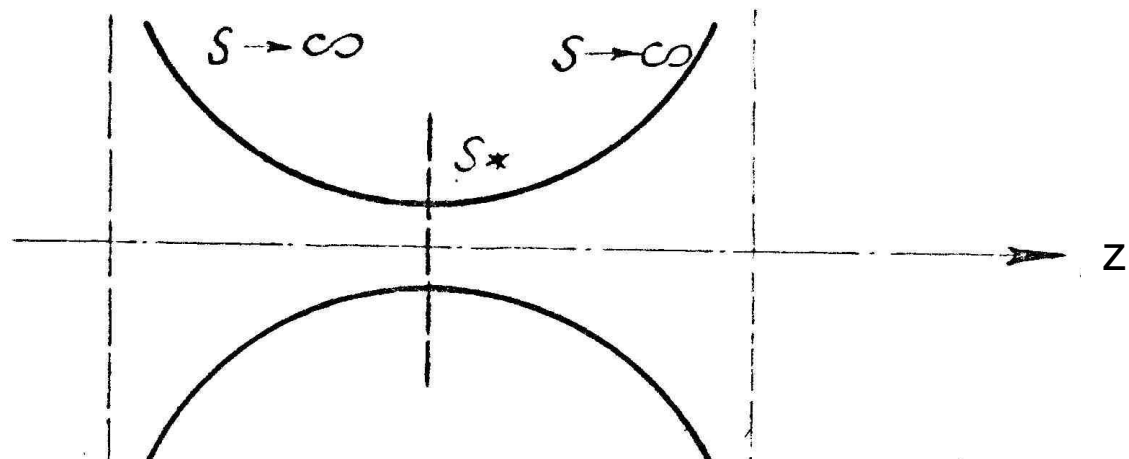
Here:  $\mu \equiv \frac{i_0}{c_{A0}^2}$ ,  $c_A^2 = \frac{H^2}{4\pi\rho}$  - *Alfven velocity*

$$h = \frac{m}{\rho v}$$

$$\rho \rightarrow \rho_0, v \rightarrow 0$$

$$\rho \rightarrow 0, v \rightarrow v_{\max}$$

$$\min h,$$



$$\begin{aligned} dU &> 0 \\ dS &< 0 \\ U &< C_T \end{aligned}$$

$$\begin{aligned} dU &> 0 \\ dS &= 0 \\ U &= C_T \end{aligned}$$

$$\begin{aligned} dU &> 0 \\ dS &> 0 \\ U &> C_T \end{aligned}$$

$$\rho v S = \dot{m} = \text{const};$$

$$\frac{v^2}{2} + i(p) = i_0 = \text{const.}$$

$$\frac{d\rho}{\rho} + \frac{dv}{v} + \frac{dS}{S} = 0; \quad vdv + c_T^2 \frac{d\rho}{\rho} = 0.$$

Исключая отсюда  $d\rho$ , получаем связь  $dv$  с  $dS$ :

$$\left( \frac{v^2}{c_T^2} - 1 \right) \frac{dv}{v} = \frac{dS}{S}.$$

$$(v^2 - c_s^2) \frac{dv}{v} = c_T^2 \frac{d(rf)}{rf} + c_A^2 \frac{d(f/r)}{f/r}.$$

Здесь  $c_s$  — скорость сигнала (быстрого звука):

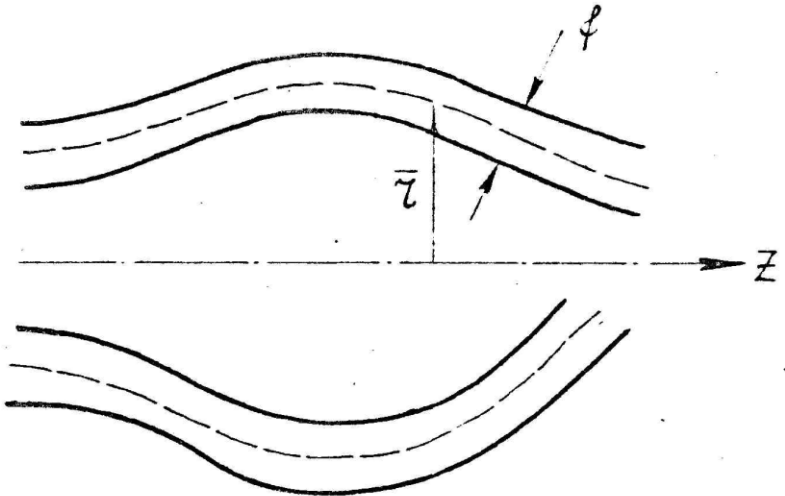
$$c_s^2 = c_T^2 + c_A^2; \quad c_A^2 \equiv \frac{H^2}{4\pi\rho}.$$

$$r=r(z)$$

$$\frac{v^2}{2} + \int \frac{dp}{\rho} + \frac{H^2}{4\pi\rho} = const \equiv U$$

$$\frac{H}{\rho r} = const \equiv \alpha$$

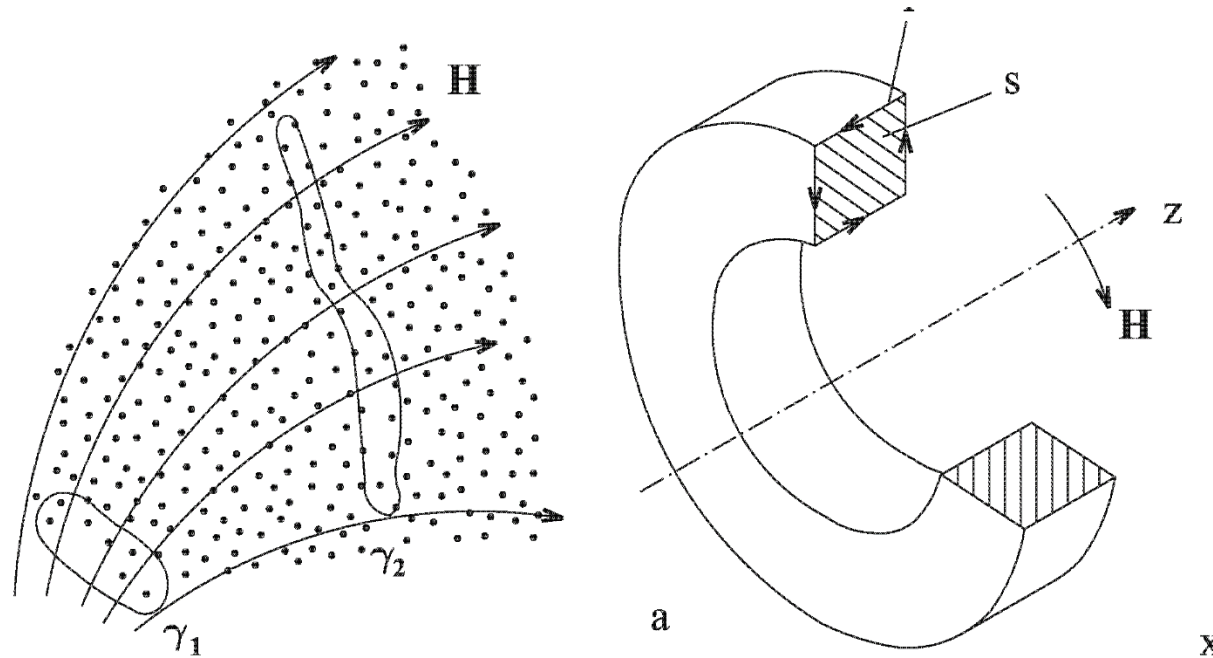
$$\rho v f r = const \equiv m$$



$$H=0$$

$$\frac{v^2}{2} + i(\rho) = i(\rho_0) \quad v_{\max} = \sqrt{2i(\rho_0)} = C_{To} \sqrt{\frac{2}{\gamma - 1}}$$

$$C_{To}^2 \equiv \gamma \frac{P_0}{\rho_0}$$



$$\text{macca } \mu = 2\pi r S \rho$$

$$\Phi = H S$$

$$\kappa \equiv 2\pi \frac{\Phi}{\mu} = \frac{H}{\rho r} = \text{const.}$$

$$i(\rho_0) \ll \frac{H_0^2}{4\pi\rho_0}$$

$$\frac{v^2}{2} + \frac{H^2}{4\pi\rho} = \frac{H_0^2}{4\pi\rho_0}$$

$$\frac{v^2}{2} + \frac{H_0^2}{4\pi\rho_0} \frac{\rho}{\rho_0} = \frac{H_0^2}{4\pi\rho_0}$$

$\rho \rightarrow 0$

For  $\mu \ll 1$  at  $z = 0$  all flow energy is concentrated in the magnetic field.  
 In the process of plasma flow, for  $Z > 0$ , one possible to have **two extreme cases:**

$$\frac{H^2}{4\pi\rho} \rightarrow \frac{v^2}{2}$$

- Purely **accelerating regime** with maximum velocity:

$$v_{max} = (2)^{1/2} v_{A0} = H_0 / (2\pi\rho)^{1/2}$$

$$\frac{H^2}{4\pi\rho} \rightarrow i(\rho)$$

- Purely **compression regime** with

$$i(\rho_{max}) = U = C_{A0}^2 \quad \frac{\rho_{max}}{\rho_0} = \left[ (\gamma - 1) \frac{c_{AO}^2}{c_{TO}^2} (1 + \mu) \right]^{\frac{1}{\gamma-1}}$$

Here  $c_{TO} = \sqrt{\gamma \frac{p_0}{\rho_0}}$  is sound velocity,  
 $\gamma$  - ratio of specific heats

(For adiabatic compression of hydrogen ( $\gamma = 5/3$ )  $c_{AO} = 10^8$  cm/s,  $c_{TO} = 10^6$  cm/s  
 the maximum value of compression is of an order  $5 \cdot 10^5$ ).

$$T_{\max} = \frac{\gamma - 1}{\gamma} \frac{H_0^2}{4\pi\rho_0} \frac{M}{k} (1 + \mu)$$

$$C_{A0} \sim 10^8 \text{ cm/s}$$

$$T = T_e + T_i \sim 5 \text{ keV}$$

$k$ - константа Больцмана

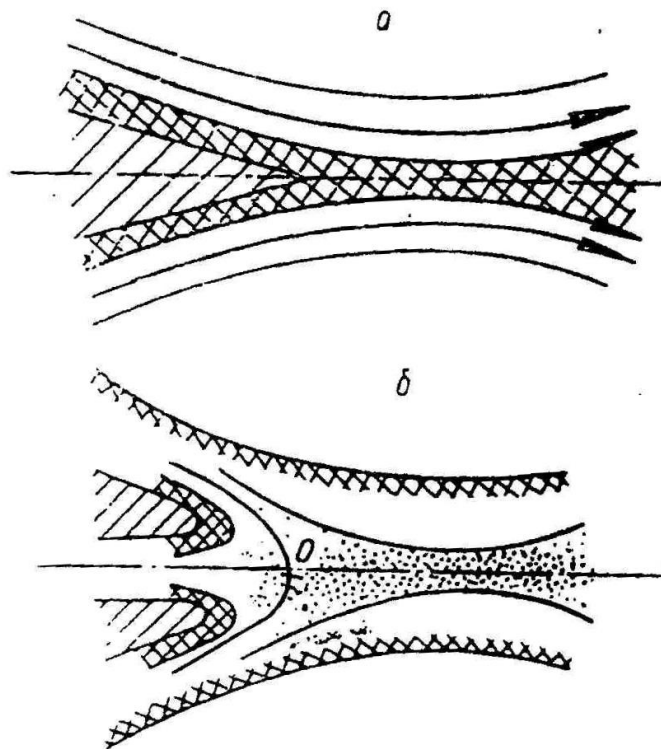


Рис. 7. Течение плазмы вблизи конца катода без дивертора (α) и с дивертором (β). Область, занятая примесями, отмечена перекрестной штриховкой

$$\frac{\vec{j}}{\sigma} = \mathbf{E} + \frac{\vec{v}}{c} \times \mathbf{B} + \frac{\nabla p_e}{en} - \frac{1}{enc} \mathbf{j} \times \mathbf{B}$$

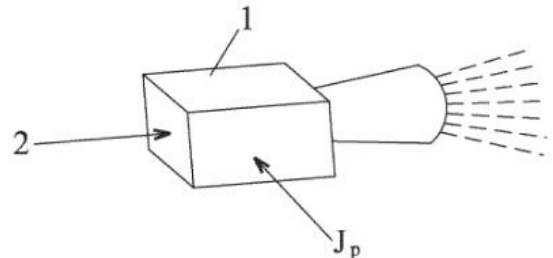


Рис. 3.2.1. К определению интегрального параметра обмена: 1 — проточная плазмодинамическая система; 2 — входящий поток рабочего вещества;  $J_p$  — электрический ток

$$\mathbf{j} \rightarrow -\mathbf{j}, \mathbf{B} \rightarrow -\mathbf{B}$$

$$R_m = \frac{4\pi\sigma_0 v_0 L}{c^2} \quad \xi = \frac{I}{I_m} = \frac{MI}{.em} \quad I_{\dot{m}} = \dot{m} \frac{e}{M}$$

$$\Omega = \frac{\{\mathbf{j}/\sigma\}}{\{\mathbf{E}\}}. \quad \xi_{\text{лок}} = \frac{\{\mathbf{u}\}}{\{\mathbf{v}\}}. \quad \varepsilon = \frac{Mv_0^2}{2} = \xi \eta U_d$$

$$\dot{m} \frac{v_0^2}{2} = \eta U_d I_d$$

$$R_m = \frac{\left\{ \begin{bmatrix} \vec{v} \vec{H} \end{bmatrix} \right\}}{\left\{ \begin{bmatrix} j \\ \sigma \end{bmatrix} \right\}}$$

$$\left\{ rot \vec{H} \right\} = \frac{\left\{ \vec{H} \right\}}{L} = \frac{4\pi}{c} \left\{ \vec{j} \right\}$$

$$R_m = \frac{4\pi\sigma_0\nu_0 L}{c^2}$$

$$\omega_e \tau_e = \frac{\left\{ \frac{[\mathbf{j}, \mathbf{H}]}{enc} \right\}}{\left\{ \frac{j}{\sigma} \right\}} = \left\{ \frac{\sigma H}{enc} \right\}.$$

$$\sigma = e^2 n_e \tau / m,$$

$$\left\{ \frac{\sigma H}{en_e c} \right\} = \left\{ \frac{eH\tau}{mc} \right\} = \{\omega_e \tau_e\}$$

$\tau$ - время свободного пробега электронов

$$\operatorname{div} n \vec{v}_i = 0, \quad \operatorname{div} n \vec{v}_e = 0 \quad \text{a)}$$

$$M \frac{d\vec{v}_i}{dt} = -\nabla \varphi + \frac{1}{c} [\vec{v}_i, \vec{H}] - \cancel{\frac{\nabla p_i}{en}} \quad \text{б)}$$

$$0 = -\nabla \varphi + \cancel{\frac{\nabla p_e}{en}} + \frac{1}{c} [\vec{v}_e, \vec{H}]$$

$$p_e = p_e(n); \quad p_i = p_i(n), \quad \text{в)}$$

$$rot \vec{H} = \frac{4\pi}{c} en(\vec{v}_i - \vec{v}_e). \quad \text{г)}$$

$$\frac{\partial}{\partial r} rn v_r^{i,e} + \frac{\partial}{\partial z} rn v_z^{i,e} = 0$$

$$rn v_z = \frac{\partial \psi}{\partial r}; \quad rn v_r = -\frac{\partial \psi}{\partial z}$$

$\Rightarrow$  Рівняння траекторій:

$$\Psi_i(r,z) = \text{const}; \quad \Psi_e(r,z) = \text{const.}$$

$$\mathbf{E} + \frac{\vec{v}_e \times \mathbf{H}}{c} = 0$$

$$\frac{M v_i^2}{2} + e\varphi = U_i(\psi_i)$$

$$\begin{aligned} \varphi &= \varphi(\Psi_e) \\ -e\varphi &= U_e(\Psi_e) \end{aligned}$$

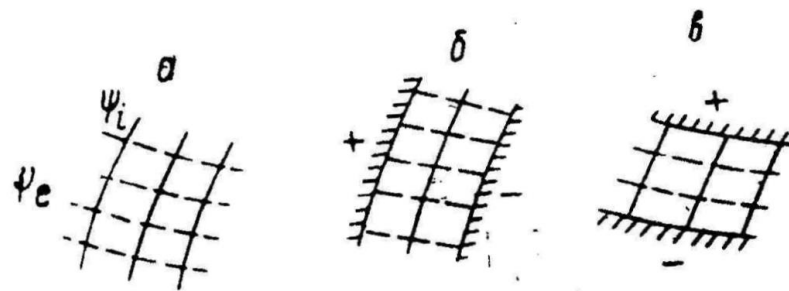


Рис. 5. Ионные и электронные траектории (а) и расположение электродов вдоль ионных (б) и вдоль электронных траекторий (в)

$$rH = \frac{4\pi e}{c}(\psi_i - \psi_e) + \text{const}$$

$$0 = U'_e(\psi_e) - \frac{eH}{crn}$$

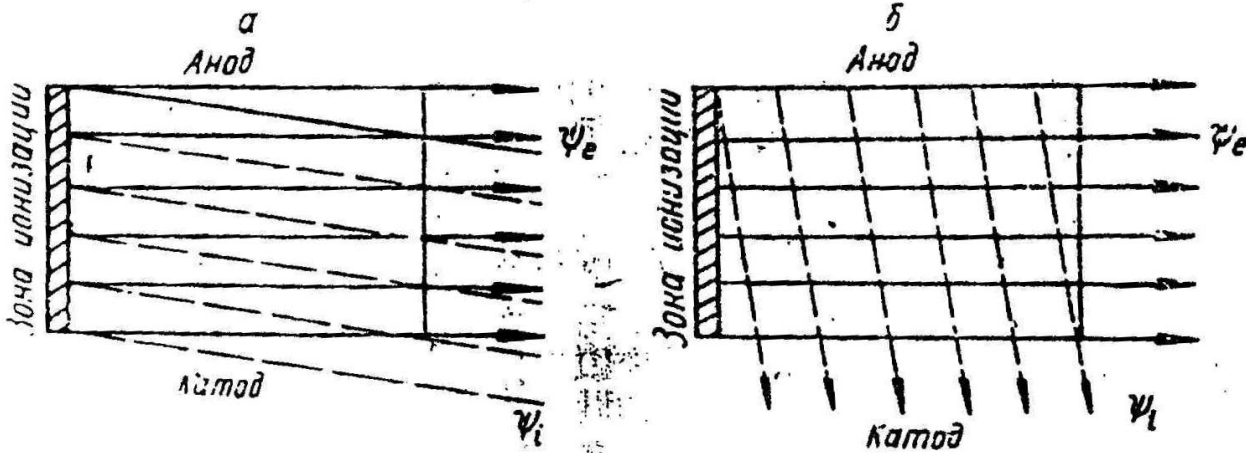


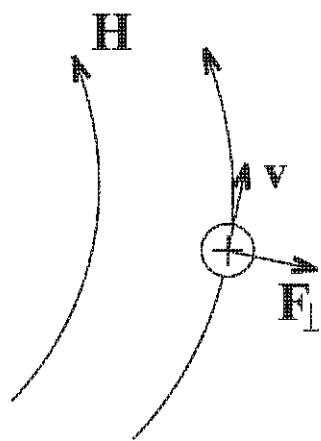
Рис. 6. Эпюры ускорителя (компрессора) при малом (а) и большом (б) параметрах обмена

## Аналогія формалізму функцій потоку з одночастковим (дрейфовим) наближенням

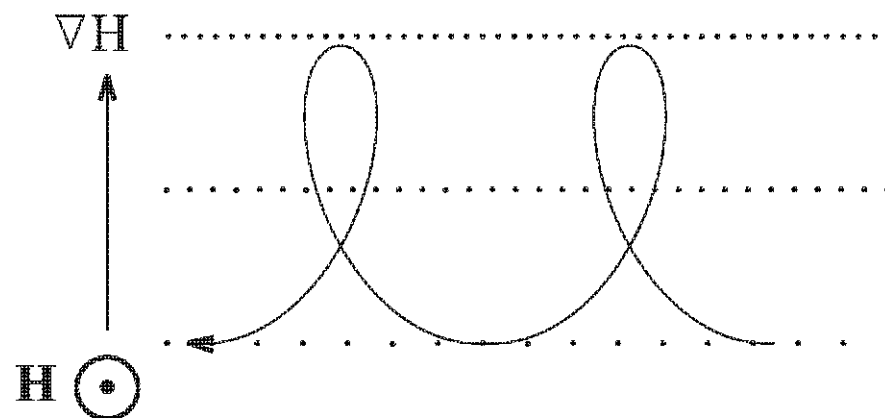
$$\frac{d\vec{R}}{dt} = v_H \frac{\vec{H}}{|H|} + \vec{U}_E + \frac{Mc}{e} \left[ \frac{d\vec{U}_E}{dt}, \vec{H} \right] \frac{1}{H^2}$$

$$\vec{U}_E = \frac{c[\vec{E}, \vec{H}]}{H^2}$$

$$U_E = c \frac{E}{H}$$

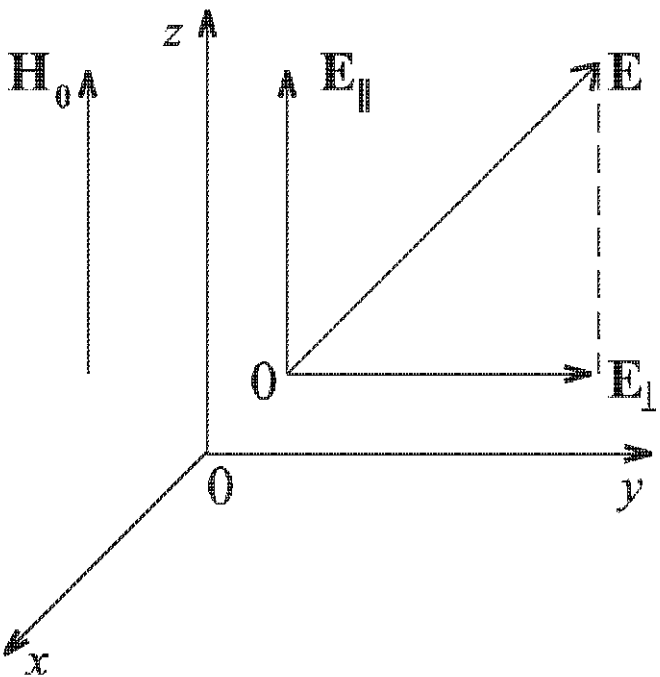


а



б

Составляющие магнитного дрейфа: а — центробежный дрейф; б — градиентный дрейф



$$\mathbf{v} = \mathbf{v}_{\parallel} + \mathbf{v}_{\perp}.$$

$$\mathbf{E} = \mathbf{E}_{\parallel} + \mathbf{E}_{\perp}.$$

$$z=z_0+V_{\parallel 0}t+\left(\frac{eE_{\parallel}}{m}\right)\frac{t^2}{2}$$

$$\mathbf{v}_{\perp}=\mathbf{u}_E+\mathbf{v}_1,$$

$$\mathbf{u}_E=\frac{c\left[\mathbf{E},\,\mathbf{H}\right]}{H^2}.$$

$U_e$  не зависит от  $e, m$

$$\mathbf{u} < \mathbf{c} \quad (E_{\perp} < H)$$

$$\frac{(\bar{\rho}_H/L)^2}{1/(\omega_H T)^2} \ll 1,$$

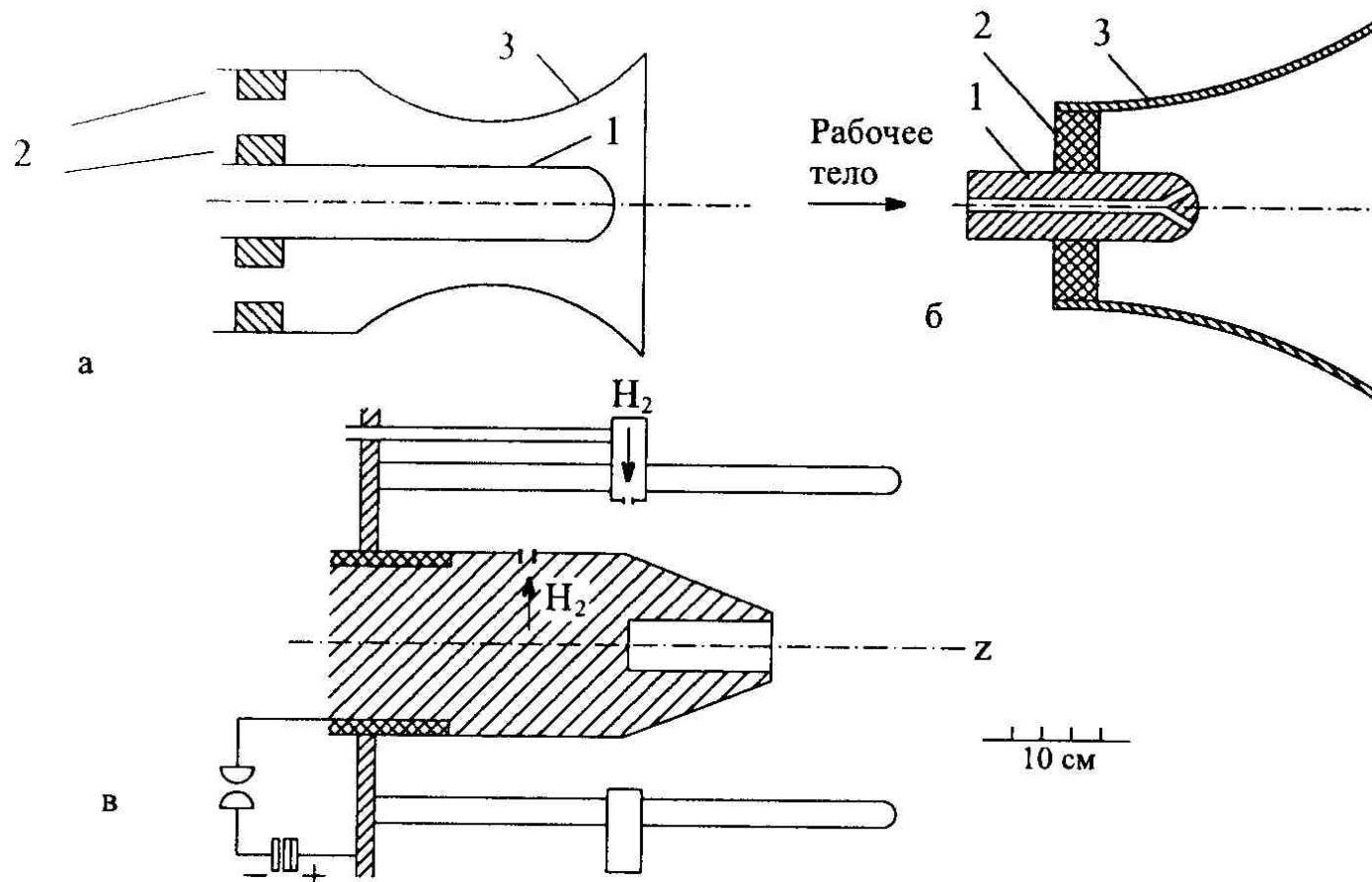
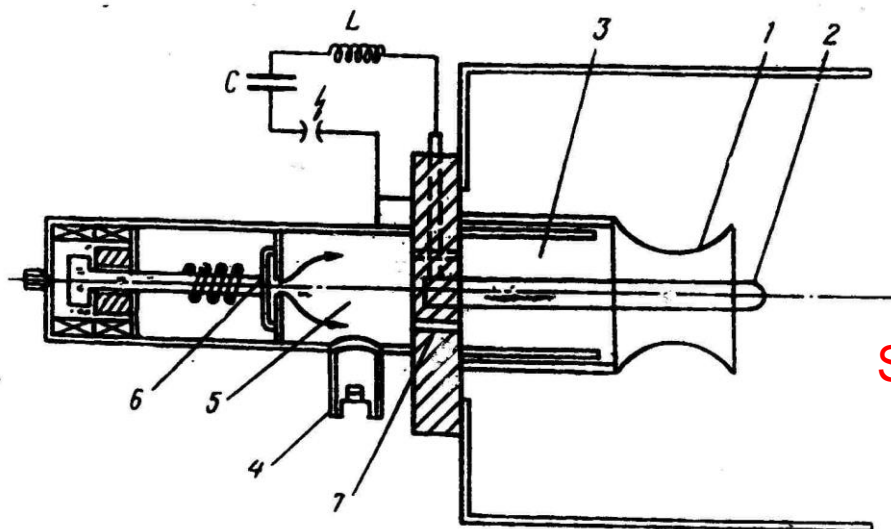


Рис. 3.7.3. Одноступенчатые коаксиальные ускорители с собственным магнитным полем и со сплошными электродами: а — "коаксиал", б — торцевой сильноточный ускоритель (ТСУ), 1 — катод, 2 — диэлектрик, 3 — анод, в — магнито-плазменный компрессор (МПК)

## Simplified QSPA (with solid electrodes)



Sub-critical and post-critical regimes  
CVC  
Crisis of current

Experiments in simplified QSPA with non-transparent coaxial electrodes, revealed some undesirable effects

- “anode current creep”),
- instability of the ionization zone,
- high erosion of electrodes (cathode potential jump) etc.,

resulted in disturbance of the accelerating process. All these effects, restricting the plasma parameters to be achieved, were avoided in two-stage accelerator with semi-transparent active or passive electrodes-transformers. One of the most powerful such a full-block QSPA (QSPA Kh-50) was installed in the IPP NSC KIPT.